

تقييم مستويات التلوث بالدقائق الهوائية في مصنع سمنت بادوش الجديد/ العراق

د. قصي كمال الدين الأحمدي ، استاذ مساعد
جامعة الموصل / كلية الهندسة - قسم الهندسة المدنية

حسين محسن عبيد ، طالب ماجستير
جامعة الموصل/ كلية البيئة

الخلاصة

تم في هذا البحث اجراء قياسات مستويات الغبار العالق الكلي والناعم (PM_1 , $PM_{2.5}$, PM_7 , PM_{10}) في 17 موقع مختار في معمل سمنت بادوش الجديد كما وتم جمع نماذج من التربة حول المعمل بالاتجاهات الاربعة على مسافات 1 كيلومتر ولحد 5 كيلومتر في كل اتجاه لبيان تأثير الساقط الغباري على التربة المحيطة. أظهرت نتائج القياس تجاوز تركيز الدقائق العالقة الناعمة جدا ($PM_{2.5}$) المحددة القياسية في عدة مواقع من المعمل كما تجاوز المعدل الكلي للمعمل المحددات القياسية وبلغ $47 \mu\text{g}/\text{m}^3$ ، أما تراكيز الدقائق العالقة للفترة للاشتباك (PM_{10}) فقد تجاوزت المحددات القياسية في جميع مواقع القياس حيث بلغ التراكيز الاجمالي $869 \mu\text{g}/\text{m}^3$ مقابل $150 \mu\text{g}/\text{m}^3$ ملحوظاً لارتفاع المعاشرات القياسية، كذلك تجاوزت تراكيز الدقائق العالقة الكلية في عدة مواقع المحددات القياسية المعتمدة. كذلك سجلت النتائج وجود علاقات ارتباط معنوية بين تراكيز الدقائق العالقة حسب أحجامها. كما أظهرت نتائج فحوصات التربة حول معمل سمنت اختلافات معنوية بين نسب الاكاسيد المقاسة فيها وكانت نسب الاكاسيد أعلى في اتجاهي الجنوب والشرق وبفرق معنوي عن الشمال والغرب حيث كانت نسبة (SiO_2) و (Al_2O_3) في التربة شرقي المعمل هي الأعلى وبلغت 40.94% و 10.53% على التوالي، في حين كان أعلى معدل لبقية الاكاسيد في التربة باتجاه جنوبى المعمل وبلغ 4.86% لـ (Fe_2O_3) 0.76% (MgO) 4.49% (CaO) 36.81% (SO_3).

Assessment of Air Particulate Pollution in New Badoosh Cement Factory/ Iraq

Dr. Kossay K. Al-Ahmady , Asst. Professor

College of Environment,

Hussain Muhsin Obeed , M.Sc

Civil Dept. College of Engineering

University of Mosul

Abstract

In this research, measurements of total (TSP) and fine suspended particulate PM_1 , $PM_{2.5}$, PM_7 and PM_{10} at Badoosh cement factory were carried out. Seventeen locations inside the factory are selected. The effect on soil around the cement factory was also studied by collecting samples in the four directions North, South, East and West to a distance of five kilometers from the factory with one kilometer spacing. The result of the study revealed that; the concentration of very fine suspended particulate $PM_{2.5}$ was over the international standard limits at different locations of the factory and the overall average concentration for the factory was ($47 \mu\text{g}/\text{m}^3$). For PM_{10} suspended particulates, the results at all locations were over the international limits and the overall average concentration reached $869 \mu\text{g}/\text{m}^3$, which was much more than the standards of $150 \mu\text{g}/\text{m}^3$. On the other hand, the total suspended particulate concentration exceed the standard at several locations in the factory. Significant correlations were found among the suspended particulate concentrations according to their size. The results of soil test around the cement factory showed significant differences of oxides percentages among the directions. Higher percentages were recorded in the South and East directions than North-West direction. The results also revealed that the percentages of SiO_2 and Al_2O_3 were 40.94% and 10.53% in the east direction whereas higher percentage for Fe_2O_3 (4.86%), CaO (36.81%), MgO (4.49%), and SO_3 (0.76%) were recorded in the south direction of factory.

Keywords: Air pollution, Particulate, Cement industry, Soil contamination.

قبل: 6 - 3 - 2014

استلم: 17 - 11 - 2013

المقدمة

يعد التلوث البيئي من مواضيع الساعة إذ يشكل التلوث مصدر فلق دائم لشرائح المجتمع المختلفة بسبب تعدد صوره وتوسيع أشكاله المؤثرة سلباً على البيئة وصحة الإنسان. وفي عصرنا الحديث أصبحت مشاكل التلوث الشغل الشاغل للدول المتقدمة والنامية التي بدأت تدرك مخاطر التلوث البيئي ولو أنها

الهوائي ليست وليدة هذا العهد وإنما وجدت منذ أن عرف الإنسان النار قبل آلاف السنين حيث كانت نواتج الاحتراق غير المتكامل تنتشر في هواء الحيز الذي يسكنه هذه نواتج من الحيز المأهول إلى التلوث الهوائي وتفاقمت تأثيراته السلبية نتيجة لزيادة تركيز الملوثات.

ختلفة المطروحة وتوليد أنواع من الملوثات تضرّ البيئة وتهدّد حياة الإنسان وثرواته.

يعتمد الضرر الناجم عن تلوث الهواء على عوامل عديدة منها كمية الملوثات وتركيزها في الهواء وفي الجسم المستقبل لها، ونوعية الملوثات، ونوعية الضرر الذي قد ينجم عنها، وقابلية الجسم للتأثير بها. حيث يصبح الهواء ملوثاً عندما تدخل مركبات ضاره إلى الغلاف الحيوي كالغازات المختلفة أو أبخرة المواد العضوية او المواد الصلبة. ومن أهم مصادر إطلاق الغازات إلى الهواء السيارات تليها المصانع ومحطات الفوئي النووية (Knox, 2008).

تلوث الهواء حسب نوعيتها إلى مصادر طبيعية ومصادر ناتجة عن نشاط الإنسان ويصعب أحياناً الفصل بين هذين المصدرين إذ أن ما يصدر عن نشاط الإنسان في منطقة ما قد يدعمه مصدر طبيعي كالرياح إلى منطقة أخرى فيصعب بـ تالي تحديد أصل المصدر، ففي البلدان الصناعية تزحف المصانع بأنواع عديدة من ملوثات الهواء. وبختلاف النوع باختلاف الصناعة، فمنها ما يقذف بالغازات الضارة ومنها ما يقذف بالغبار الذي يحتوي على الملوثات.

يعد التلوث بالجسيمات العالقة أو الغبار العالق ويرمز لها بحرف (PM) ثم رقم يمثل حجم الدقائق العالقة أحد جوانب التلوث الجديرة بالاهتمام وذلك لكون الدقائق العالقة وخصوصاً القابلة للاستنشاق منها ذات خطورة على البيئة والجو والانسان. إذ ان الدقائق العالقة ذات قطر أصغر من 10 ميكرون (PM₁₀) لها قابلية امتصاص المواد السامة أكثر من الدقائق الخشنة وبإمكانها دخول جسم الانسان والاستقرار في الرئتين خلال عملية التنفس مسببة أمراض مختلفة للجهاز التنفسى والأمراض القلبية (Makkonen, 2010). وفي حين تسقط دقائق الغبار الخشنة الى الارض بالجاذبية، فمن الممكن ان تبقى الدقائق الناعمة في الهواء عالقة لعدة اسابيع وتنتقل الى مسافات بعيدة عن مصدر ابعاثها. وعليه فان الدقائق الناعمة ذات تأثير كبير على البيئة (Furuta, 2005)، يضاف الى ذلك ان الدقائق العالقة في الجو لا تعمل فقط على تقليل مدى الرؤيا ولكنها في نفس الوقت تؤثر على تكوين الغيوم والتي تؤثر بدورها على عملية انتقال الحرارة في الجو وعليه فإنها تساهم في التغيرات المناخية. وقد تناولت الدراسات المحلية السابقة حول التلوث الهوائي (الغبار) بالرغم من ندرتها الغبار الساقط والدقائق العالقة PM₅₀.

تعد صناعة الاسمنت من الصناعات الاستراتيجية في العالم كونها تساهم في البنية التحتية للبلد ولكنها في الوقت نفسه تعد من الصناعات الملوثة للبيئة وخاصة الهواء سوءاً داخل بيئه المعمل أو في البيئة المحيطة به لما تطرحه في الجو من غبار وغازات تبدأ من المقالع مروراً بكافة أقسام المعمل الإنتاجية، وذلك نتيجة لتعاملها مع التربة والصخور كمادة أولية حيث يتم تكسيرها وطحنها لتهيئتها لدخول الأفران وينتتج عن هذه العمليات توليد كميات كبيرة من المواد العالقة، وبعد خروج الكلنكر من الفرن تسبب عملية طحنه في توليد الغبار العالق الناعم، يتبع ذلك عملية تعبئه الاسمنت وتحميله ويكون جو هذه الوحدة ذو تراكيز عالية من المواد العالقة الناعمة الإنتاجية (Jeff, 2004).

هناك العديد في محافظة نينوى والتي تسد جزء كبير من احتياجات العراق وتمثل بجودة انتاجها. في هذا البحث اختيار معمل للاسمنت في منطقة بادوش الواقعة غرب مدينة الموصل مما معمل سمنت بادوش الجديد ومعمل سمنت بادوش التوسيع والذان يعملان بالطريقة الجافة لإجراء الدراسة الحالية ومسح الملوثات الغبارية العالقة الكلية والناعمة في جو العمل ومقارنتها مع المحددات المسموح بها فضلاً عن تأثيراتها على التربة حول المعمل واحتساب تراكيز الدقائق العالقة بناءً على الحالة الجوية بعد قياس مقدار الدقائق العالقة المنبعثة من المدخنة.

الدراسات السابقة

(PM_{2.5} PM₁) (Burcu Onat, 2013) بحركة السيارات في مدينة اسطنبول تركيا. حيث الذرات المتطايرة وتركيزها في المناطق الأكثر ازدحاماً نتائج البحث ان تراكيز PM_{2.5} ما بين $7.6 \mu\text{g}/\text{m}^3$ $23.8 \mu\text{g}/\text{m}^3$ $81.5 \mu\text{g}/\text{m}^3$ $30.2 \mu\text{g}/\text{m}^3$ كما وقد وجد أن المواد المعدنية المتطايرة أكثر شيوعاً في PM_{2.5}.

وقيم Abu Allaban, 2011 تأثير معمل سمنت في الأردن على نوعية الهواء في المناطق المجاورة خلال مرحلتي إنشاء المصنع وتشغيله. أثبتت نتائج البحث أن تراكيز كل من الغبار، (SO₂) (NO_x) (CO) من المصنع كانت ضمن الحدود المقبولة بيئياً في حالة استخدام وحدات السيطرة على الملوثات. كما أوضحت النتائج أن

الملوثات الناتجة خلال كلا المرحلتين تتشابه من حيث نوعيتها باستثناء الملوثات الناتجة عن احتراق الوقود والتي تترايد تراكيزها خلال مرحلة التشغيل نتيجة عمل الأفران في المصنع. كذلك أثبتت النتائج انه يمكن استخدام النموذج الرياضي الحاسوبى لتوقع انتشار الملوثات الناتجة من المصنع حيث طباقت بشكل معقول القيم المستحصلة من النموذج الرياضي مع القياسات الحقيقية للملوثات.

كما وقيم الباحثان (Kabir, 2010) التلوث الهوائي الناتج عن صناعة السمنت في نيجيريا، حيث تمت مراقبة نوعية الهواء في المصنع وتقييم المتساقطات في المناطق المجاورة. أثبتت نتائج البحث ان تراكيز الغبار في مناطق المصنع والمناطق المجاورة تتراوح ما بين (249-3745) ملغم/متر مكعب، في حين تراوحت تراكيز ثاني اوكسيد الكربون ما بين (2440-2600) ملغم/متر مكعب ولنفس المناطق. بالمقابل كانت تراكيز كل من أكسيد التتروجين (NO_x) وثاني اوكسيد (CO_2) الناتجان من المصنع ضمن الحدود المسموحة لنوعية الهواء. كما وبينت النتائج أن إجراء بعض التعديلات على العمليات الإنتاجية واستخدام مواد أولية مختلفة من الممكن أن يقلل من إنتاج غاز ثاني اوكسيد الكربون في الأفران إلى الحدود الدنيا. وتوصل (Al Smadi, 2009) الى ان انتشار الملوثات في شهر أيلول يكونأسوء ما يمكن وذلك بسبب انخفاض سرعة الرياح واستقراره الجو النسبية وذلك عند دراسته انتشار كل من الغبار (Dust) ، اكسيد التتروجين (NO_x) ، ثاني اوكسيد الكبريت (SO_2) وأول اوكسيد الكبرون (CO) الناتجة من مصنع سمنت وادي الابياد في الأردن ومقارنة النتائج مع المحددات الأردنية لنوعية الهواء. كما أظهرت النتائج أن تراكيز ثاني اوكسيد الكبريت 0.8 جزء بالمليون على بعد 750 متر من المصنع عند استخدام الوقود التقليد (Fuel oil) في التسخين والتي هي أعلى بكثير من حدود المواصفة الأردنية للهواء (0.32) جزء بالمليون. بالمقابل أظهرت النتائج أن استخدام الغاز الطبيعي في التسخين ينتج ملوثات أقل او ضمن حدود مواصفات نوعية الهواء المقبولة. كما وجد ارتفاع تراكيز كل من أكسيد التتروجين والغبار الناتج الى مستويات أعلى من حدود المواصفات المسموحة لنوعية الهواء. بينت نتائج التحليل الرياضي أن أعلى مستويات تلوث بالغبار تحدث ضمن مسافة 300 .

ذلك قام الباحثان (Panedy, 2008) بدراسة التأثيرات السلبية الناتجة عن 11 مصنع سمنت حيث أظهرت نتائج الدراسة وجود تأثير ضار جداً لهذه المصانع على البيئة المجاورة كونها تنتج كميات كبيرة جداً من غازات (CO_2) و(NO_x) ودقائق (PM_{10}). كما أظهرت الصور الجوية المأخوذة لمنطقة المصانع والمناطق المجاورة وجود طبقة واضحة من الضباب عند مستوى سطح الأرض، كذلك اظهرت الدراسة أن السبب الرئيسي لمثل هذا التأثير المدمر للبيئة هو عدم قيام هذه المصانع باستخدام أي وحدات عزل وسيطرة على ملوثات الهواء الناتجة من الفعاليات الإنتاجية في المصانع .

بينت الدراسة ان غبار السمنت المتساقط على التربة في المناطق المجاورة للمصانع والتي يمتاز بكونه مادة غير آمنة، يؤدي الى تشكيل طبقة فوق السطح تسبب تدمير خصوبة التربة من خلال منع امتصاص المياه من الطبقة السطحية للتربة والى الداخل اضافة لرفع تراكيز العديد من العناصر في التربة مثل السيليكا والكلاسيوم والصوديوم والمغنيسيوم والبوتاسيوم هذا بالإضافة لخفض قيمة الدالة الحامضية للتربة (pH). .

كما تناول (Branquinho, 2008) في دراستهم تأثير التلوث بالغبار الناتج عن مصنع سمنت في المناطق الجافة، حيث تمت مراقبة تراكيز مركبات الغبار الناتج الرئيسية وهي الكالسيوم (Ca) والحديد (Fe) والمغنيسيوم (Mg) منطقة المصانع والمناطق المجاورة والناتجة من فعاليات كسارة المواد الأولية وطاحونة السمنت في المصنع. أثبتت نتائج البحث وجود تأثير قوي لمصنع السمنت على التلوث بالغبار في المنطقة. كذلك أظهرت النتائج أن كل من كمية الغبار الناتجة من المصانع ونوعية التركيب الكيماوي للغبار لهم التأثير الرئيسي على تكرار وطريقة تربة الغبار في المنطقة.

(Ade-Ademilua, 2008) تأثير الغبار الناتج عن مصانع السمنت على معدلات استهلاك المعادن الثقيلة من أنواع النباتات المنتشرة في المناطق المحيطة لمصنع سمنت. أظهرت نتائج الدراسة أن التربة المحيطة بالمصنع تحتوي على مستويات مرتفعة من الحديد، الكالسيوم، المغنيسيوم، الالمنيوم، السيلييكا، الزنك، والنحاس والكبريت وهي نفس المركبات الساندة في غبار السمنت. كما وأظهرت الدراسة أن غبار السمنت لم يكن ذو تأثير واضح على سرعة نمو النبات بالمقابل كان للغبار تأثيراً على النباتات من حيث تقليل طول السيقان ومساحة الأوراق. وبين (Hindly, 1990) تأثير التلوث الناتج عن معامل السمنت على كل من الهواء والماء والتربة والنباتات في القاهرة و ذلك بمقارنة هذه العناصر في المنطقة المجاورة لمصنع سمنت مع مناطق بعيدة مشابهة. أظهرت نتائج البحث أن معامل السمنت لها تأثير سلبي كبير على البيئة المجاورة ويعود السبب الرئيس لهذا التأثير لعمليات حرق الوقود الكبيرة في المصنع إضافة إلى طبيعة المواد الأولية المستخدمة وكميات الغبار الكبيرة المنبعثة منها خلال العمليات الإنتاجية، هذا بالإضافة إلى ضعف وتعطل وحدات السيطرة على التلوث في المصنع مما يسبب بانبعاث الملوثات بشكل كبير إلى البيئة.

المواد وطرق العمل

يقع معمل سمنت بادوش الجديد شمال مدينة الموصل بحوالي 25 كم في ناحية حميدات وهو أول معمل في العراق تم إنشاؤه ليعمل بالطريقة الجافة ذات التسخين المسبق نوع كيبيول ويضم خطين إنتاجيين بطاقة إنتاجية سنوية 900

تم اختيار عدد من مواقع أخذ نماذج قياس الغبار العالق الكلي والناعم (PM_1 , $PM_{2.5}$, PM_7 , PM_{10}) موزعة داخل المعمل حسب الوحدات الإنتاجية وبضمنها أماكن تواجد العاملين، حيث تمت عملية القياس لفترة من تشرين الثاني 2012 ولغاية نيسان 2013 وبموقع مرتين في الشهر. موقع القياس على 17 موقعاً هي: اداره الاحتياطيه، الميكانيكية، طواحين المواد الأولية، الكيميائية، طواحين المواد الأولية، طواحين مال طواحين.

غرفة سيطرة التعبئة ومنطقة تحويل

تم استخدام جهاز نوع 531 (AEROCET) لإجراء القياسات الحقلية لتراكيز الغبار العالق الكلي والناعم، وهو جهاز حقلي لقياس تركيز الغبار العالق بالاعتماد على دايرودات ليزيرية مع مرآة اهليجية لتجمع الضوء موجودة داخله وتتم عملية القياس من خلال قيام الجهاز بسحب الهواء لمدة دقيقة عند تشغيله، تظهر بعدها النتائج على شاشة في أعلى واجهة الجهاز ويقوم الجهاز بخزن هذه البيانات مع الوقت والتاريخ ورقم موقع القياس ، ويتم التأكد من دقة قراءات الجهاز في كل يوم عمل باستخدام مرشح تصفيير ذات فتحات ذات قطر 0.3 ميكرون بحيث تكون قراءات الجهاز متساوية لصفر، وبإمكان الجهاز قياس تراكيز احجام مختلفة من ذرات الغبار وهي 1 ، 2.5 ، 7 ، 10 ميكرون فضلاً عن تراكيز الجسيمات العالقة الكلية.

تم قياس الدقائق العالقة الكلية المبنية من مدخنة المعمل باستخدام جهاز القياس نوع SHC 502 وتم عملية القياس بعد عمل فتحة في المدخنة الرئيسية للمعمل على ارتفاع مناسب لإدخال المحس الخاص بالجهاز الذي يحتوي في رأسه على جام للغبار، ويرتبط المحس مع الجهاز بوساطة أنبوبة مطاطية وتنتمي عملية السيطرة والتحكم بتشغيل الجهاز من خلال حاسوب يرتبط به، اذ يتم تشغيل مضخة لمدة محددة لسحب الهواء الحامل للغبار العالق من المدخنة ، ويتم الحصول على التراكيز بعد وزن جام الغبار قبل وبعد القياس وإيجاد الفرق بينهما. تم اجراء القياس ثلاثة مرات خلال فترة الدراسة، في حالة تشغيل المرسيبات في المعمل وعند عدم تشغيلها وتم اختيار اعلى قيمة مقاسة لغرض حساب تراكيز الغبار العالق الكلي عند سطح الارض لمسافة 5 كيلومترات عن المعمل باتجاه الرياح.

تم جمع نماذج التربة حول معمل سمنت بادوش الجديد من ثلاثة اعمق عن سطح الارض وبالاتجاهات الاربع: الشمال والجنوب والشرق والغرب لمسافات كل كيلومتر ولحد 5 كم عن المعمل وذلك بوساطة اسطوانة حديبية وبواسطة ثلاثة نماذج لكل موقع لعمق من 0-10 سم و 30-50 سم وبذلك يكون عدد النماذج 15 لكل اتجاه . تم تحليل النماذج باستخدام طريقة مزيج Fusion مع الحرق لدرجة حرارة 1000 مئوية لإيجاد نسب الاكاسيد فيها Al_2O_3 و SiO_2 و Fe_2O_3 و MgO و CaO و SO_3 .

تم تحليل نتائج تراكيز الدقائق العالقة المقاسة من خلال إيجاد كل من المعدل والانحراف المعياري مع أوطن قيمة وأعلى قيمة، كما تم اجراء المقارنة بين موقع القياس داخل كل معمل وذلك باستخدام اختبار (Tukey) عند مستوى معنوية $p \leq 0.05$. كما تم ايجاد العلاقات بين الاحجام المختلفة للدقائق العالقة وذلك باستخدام معامل الارتباط البسيط Pearson (Al-Smadi, Correlation : 2009)

$$C_o = C_1 \left(\frac{t_1}{t_o} \right)^{0.2}$$

حيث:

$$(t_1) = C_o \text{ التركيز لمعدل 24} \\ (t_o) = C_1 \text{ التركيز للوقت المقاس}$$

النتائج والمناقشة

تغير تراكيز الجسيمات العالقة الناعمة والكلية خلال فترة الدراسة

بـ (1) تراكيز الجسيمات العالقة الناعمة جدا (PM_{10}) خلال فترة الدراسة في موقع القياس المحدد مختبر الفحوصات الكيماويه مخزن المواد الاحتياطيه، الورشه الميكانيكيه، طواحين المواد الأولية غرفة العمل في الطواحين مخزن المواد الأولية غرفة عمال الكساره، غرفة السيطره، منطقة خارج الافران، داخل طواحين السمنت غرفة العمل في الطواحين، داخل وخارج منطقة تعبئة السمنت وفي غرفة السيطره في التعبئة. (2) فيبين ان تراكيز في الناعمة جدا بحجم $PM_{2.5}$ لنفس المناطق أعلاه، في حين يبين

الجدول (3) تراكيز ومعدلات الدفائق العالقة PM_7 ويظهر الجدول (4) التراكيز والمعدلات للدفائق العالقة القابلة PM_{10} .

وعند مقارنة تراكيز المواد العالقة الناعمة جدا PM_1 بين موقع القياس مع المحددات باستعمال اختبار (Tukey) فيبين الجدول (1) عدم وجود فروقات معنوية في التراكيز بين موقع القياس ماعدا مختبر الفحوصات الكيميائية فقد سجل اختلافاً معنوياً عن بقية الموقع وبتركيز أعلى، إذ كان معدل القياسات في المختبر $25.75 \text{ مايكروغرام}/\text{م}^3$ ، ويعود سبب عدم وجود الاختلاف بين الموقع إلى كون معظم ذرات السمنت الناتجة عن عملية الطحن أكبر من 1 ميكرون ، أما زيادة التراكيز في المختبر فيعود إلى ضعف عملية التهوية وبالتالي قلة تخفيف التراكيز الداخلة إلى المختبر مما يعمل على تجمعها وتركزها فيه.

كذلك ويظهر الجدول (2) الاختلافات الإحصائية بين موقع القياس في تراكيز الغبار العالق الناعم جدا بحجم $PM_{2.5}$ ، إذ سجلت المواقع وحدة تعبئة السمنت وسيطرة تعبئة السمنت وطواحين المواد الأولية أعلى التراكيز وبفرق معنوي عن بقية الموقع، وتلعب المواد الصناعية المتسربة منها دور في زيادة تراكيز المواد العالقة واختلافها عن بقية الوحدات. وعند مقارنة المعدل اليومي مع المحددات الأمريكية القياسية لنوعية الهواء نلاحظ أن غالبية موقع القياس كانت ضمن المحددات والبالغة $35 \text{ غرام}/\text{م}^3$ ماعدا الموقع: مختبر الفحوصات الكيميائية، طواحين المواد الأولية، غرفة عمال الكسارة، الكسار، غرفة عمال الأفران، غرفة عمال طواحين السمنت وتعبئة السمنت/داخل وغرفة سيطرة تعبئة السمنت (NAAQS, 2013) كما تجاوز المعدل اليومي الإجمالي للمعمل المحددات وبلغ $47 \text{ مايكروغرام}/\text{م}^3$ ، لكنه لم يتجاوز كل من المحددات الأردنية والمكسيكية ($65 \text{ مايكروغرام}/\text{م}^3$ والصينية $75 \text{ مايكروغرام}/\text{م}^3$). أما الجداول (3 و 4 و 5) فظهور زيادة معدل تراكيز كل من المواد العالقة PM_{10} و PM_7 والدفائق العالقة الكلية في مواقع وحدات طواحين المواد الأولية وتعبئة السمنت وسيطرة السمنت عن بقية موقع القياس وبفرق معنوي، ويمكن ان يعزى ذلك لنفس سبب زيادة تراكيز $PM_{2.5}$. ويمكن ملاحظة تجاوز تراكيز الدفائق العالقة القابلة للاستنشاق PM_{10} المحددات الأمريكية القياسية لنوعية الهواء والبالغة $150 \text{ مايكروغرام}/\text{م}^3$ في جميع موقع القياس (الجدول 4)، لكن عند الاعتماد على المواصفات الصينية والبالغة $250 \text{ مايكروغرام}/\text{م}^3$ فإن الموقع ادارة المعمل/ داخل ومخبر الفحوصات الكيميائية لم تتجاوز المحددات.

كما نلاحظ في الجدول (5) تجاوز تراكيز الدفائق العالقة الكلية في جميع المواقع للمحددات الصينية لنوعية الهواء والبالغة $500 \text{ مايكروغرام}/\text{م}^3$ في المناطق الصناعية ماعدا المواقع: الادارة/ داخل، مختبر الفحوصات الكيميائية ومخزن المواد الاحتياطية والورشة وغرفة عمال الكسارة فان التراكيز فيها لم تتجاوز المحددات. وعند مقارنة المعدل السنوي لتراكيز الدفائق العالقة الكلية في المعمل والبالغ $47 \text{ مايكروغرام}/\text{م}^3$ مع المناطق الصناعية في العالم نلاحظ أنها اوطأ بكثير من المناطق الصناعية في الهند، اذ بلغ تراكيز الدفائق الكلية $409, 86, 372, 354, 444, 405 \text{ مايكروغرام}/\text{م}^3$ في احمدabad، جينائي، دلهي، اندور، كانبور وكلكتا على الترتيب (Singh, 2007). وكانت تراكيز الدفائق العالقة الكلية في معمل سمنت في نيجيريا ضمن التراكيز المسجلة في معمل سمنت بادوش الجديد إذ والتي تراوحت بين $465-857 \text{ مايكروغرام}/\text{م}^3$ (Olaleye, 2010). في حين كان المعدل السنوي لتراكيز الغبار العالق الكلي لمعمل سمنت بادوش الجديد أعلى من معمل سمنت البايدية فيالأردن والبالغ $6.3 \text{ مايكروغرام}/\text{م}^3$ (Abu-Allaban, 2011).

سمنت (مايكروغرام/ م^3).

PM_1

(1) تراكيز الدفائق العالقة

Tukey group [#]	Max.	Min.	SD	Mean	الموقع
A	17	0	4.63	6.83	/
A	17	1	4.88	7.75	/
B	59	3	17.29	25.75	مختبر الفحوصات الكيميائية
A	11	1	2.64	4.58	مخزن المواد الاحتياطية
A	32	2	8.01	9.58	الورشة الميكانيكية
A	17	3	4.55	10.70	طواحين المواد/ غرفة العمال
A	21	2	4.94	7.92	طواحين المواد/ غرفة العمال
A	12	0	3.69	4.00	مخزن المواد الأولية
A	40	2	10.10	10.00	
A	29	2	8.54	10.00	الكسارة/ غرفة السيطرة
A	19	0	5.64	6.25	/
A	22	3	6.12	10.25	
A	13	0	4.14	4.42	طواحين السمنت/ داخل
A	17	3	4.49	7.17	طواحين السمنت/ غرفة
A	19	1	6.10	6.50	/
A	16	1	5.11	6.50	/
A	21	2	6.27	10.33	تعبئة السمنت/ السيطرة

عند مستوى معنوية ($p \leq 0.05$)
Tukey سمنت (مايكروغرام/ m^3).
PM_{2.5} (2) تراكيز الدقائق

Av-24hr	Tukey group [#]	Max.	Min.	SD	Mean	الموقع
23	A	76	15	20.88	43.00	/
35	A	141	8	46.64	66.17	/
*47	AB	256	13	71.36	88.33	مختبر الفحوصات الكيميائية
26	A	99	17	27.55	49.08	مخزن المواد الاحتياطية
27	A	139	26	31.05	51.08	الميكانيكية
*111	C	314	13	105.21	209.60	طواحين المواد الأولية
35	A	269	25	68.29	65.42	طواحين المواد/ غرفة العمال
25	A	185	6	56.04	47.58	مخزن المواد الأولية
*39	AB	385	16	100.53	73.42	
*41	AB	294	7	86.69	78.58	الكسارة/ غرفة السيطرة
24	A	197	4	56.38	45.17	/
*47	AB	215	11	54.76	88.92	
33	A	243	4	65.19	62.75	طواحين السمنت/ داخل
*45	AB	220	7	67.02	84.50	طواحين السمنت/ غرفة
35	A	263	6	77.85	66.25	/
*92	BC	567	4	149.08	174.50	/
*117	C	470	38	147.65	221.00	تعبئة السمنت/ السيطرة
*47	-	567	4	94.0	88.00	(Av- 24 hr)

عند مستوى معنوية ($p \leq 0.05$)
(NAAQS, 2013)
* تعني تجاوز المحددات القياسية لنوعية الهواء والبالغة 35 مايكروغرام/ m^3

(3) تراكيز الدقائق العالقة PM₇ في موقع مختار من معمل السمنت (مايكروغرام/ m^3)

Tukey group [#]	Max.	Min.	SD	Mean	الموقع
A	747	82	221.55	315.92	/
A	1122	62	354.21	521.83	/
A	888	111	259.22	340.08	مختبر الفحوصات الكيميائية
A	976	59	288.65	425.5	مخزن المواد الاحتياطية
A	895	69	216.16	365.42	الورشة الميكانيكية
B	9084	276	2532.3	3437.8	طواحين المواد الاولية
A	7057	101	1939.85	1114.42	طواحين المواد الاولية / غرفة العمال
A	1822	29	523.6	419.92	مخزن المواد الاولية
A	1435	119	362.4	444.83	
A	2228	15	642.99	526.33	الكسارة/ غرفة السيطرة
A	1701	25	461.01	604.5	/
A	1911	34	469.62	706.17	
A	2957	15	960.3	1007	طواحين السمنت/ داخل
A	2227	46	717.49	765.75	طواحين السمنت/غرفة
A	5470	9	1555.51	1034.5	/
B	7448	13	2363.83	3089.58	/
B	6759	290	2191.17	3016.5	تعبئة السمنت/ السيطرة

#

(4) تراكيز الدقائق العالقة PM_{10} في موقع مختار من معمل السمنت (مايكروغرام/م³)

Av-24hr	Tukey group [#]	Max.	Min.	SD	Mean	الموقع
*235	A	1029	122	318	443	/
*411	A	1775	70	513	776	/
*246	A	1185	169	339	465	مختبر الفحوصات الكيميائية
*340	A	1450	84	454	642	مخزن المواد الاحتياطية
*298	A	1533	85	380	563	الورشة الميكانيكية
*2761	B	10000	394	3063	5214	طواحين المواد الاولية
*898	A	10000	158	2749	1696	طواحين المواد / غرفة العمال
*406	A	4357	45	1204	767	المواد الاولية
*339	A	1651	178	442	640	
*393	A	3370	28	929	742	الكسارة / غرفة السيطرة
*497	A	2547	25	690	938	/
*534	A	2687	53	659	1008	
*941	A	5373	23	1773	1776	طواحين السمنت/ داخل
*614	A	3337	68	1109	1159	طواحين السمنت/غرفة
*871	A	8481	14	2345	1644	/
*2877	B	10000	20	3645	5432	/
*2418	B	10000	508	3196	4567	تعبئة السمنت/ السيطرة
*869	-	10000	14	2337	1640	(Av- 24 hr) المعدل

عند مستوى معنوية ($p < 0.05$)

* تعني تجاوز المحددات القياسية الامريكية لنوعية الهواء والبالغة 150 ميكروغرام /م³

#

(5) تراكيز الدقائق العالقة الكلية $_{10}PM$ في مواقع مختارة من معمل السمنت (مايكروغرام/م³)

الموقع	Mean	SD	Min.	Max.	Tukey group [#]	Av-24 hr
/	565	418	170	1379	A	299
/	1041	690	78	2679	A	*551
مخابر الفحوصات الكيميائية	564	374	232	1339	A	299
مخزن المواد الاحتياطية	861	615	116	1864	A	456
الورشة الميكانيكية	799	578	98	2242	A	423
طواحين المواد الاولية	7468	3019	533	10000	B	*3955
طواحين المواد / غرفة العمل	2117	2784	209	10000	A	*1221
مخزن المواد الاولية	1325	2446	55	8861	A	*701
الكسارة/ غرفة السيطرة	856	550	252	1815	A	453
/	948	1170	45	4346	A	*502
/	1332	967	144	3543	A	*705
طواحين السمنت/ داخل	1293	803	77	3235	A	*685
طواحين السمنت/غرفة	2715	2756	38	7835	A	*1438
/	1530	1491	95	4559	A	*810
/	2223	2717	20	10000	A	*1177
/	6614	3746	27	10000	B	*3503
تعبئة السمنت/ السيطرة	5448	3152	733	10000	B	*2885
(Av- 24 hr)	2166	2802	20	10000	-	*1147

Tukey

عند مستوى معنوية ($p \leq 0.05$)

* تعني تجاوز المحددات القياسية الصينية لنوعية الهواء في المناطق الصناعية والبالغة 500 ميكروغرام/ m^3
- يساوي 50 ميكروغرام/ m^3 (Ann. Av.)

#

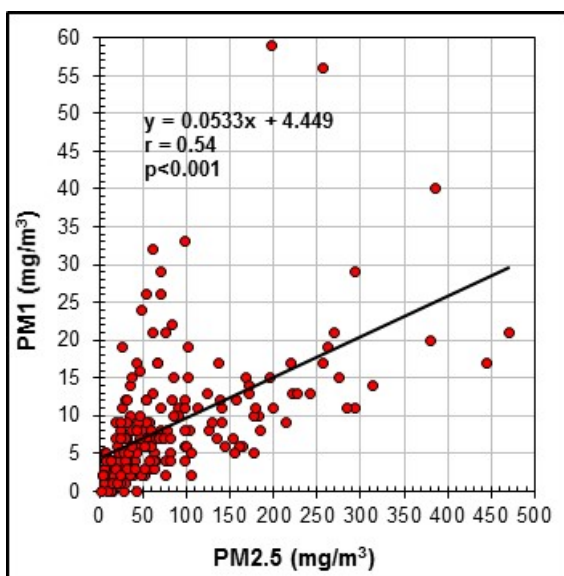
ارتباط تركيز المواد العالقة حسب حجم الدفائق

اظهر اختبار معامل ارتباط بيرسون وجود علاقات معنوية بين تركيز الدفائق العالقة الناعمة فيما بينها فضلاً عن ارتباطها مع تركيز الدفائق العالقة الكلية. يبين الشكل (1) علاقة ارتباط معنوية طردية بين تركيز الدفائق العالقة الناعمة جداً PM_1 والدفائق العالقة $PM_{2.5}$ في معمل سمنت بادوش الجديد وكان معامل الارتباط 0.54 وبمعنى ($p < 0.001$) ، اذ يزداد تركيز PM_1 بمقدار 0.053 ميكروغرام/ m^3 مع كل 1 ميكروغرام/ m^3 زيادة في $PM_{2.5}$.

وسجلت علاقة ارتباط معنوية ($p < 0.001$) طردية بمعامل ارتباط 0.80 بين $PM_{2.5}$ و PM_7 ، اذ يزداد تركيز PM_7 بمقدار 12.419 ميكروغرام/ m^3 مع كل 1 ميكروغرام/ m^3 زيادة في $PM_{2.5}$ (2).

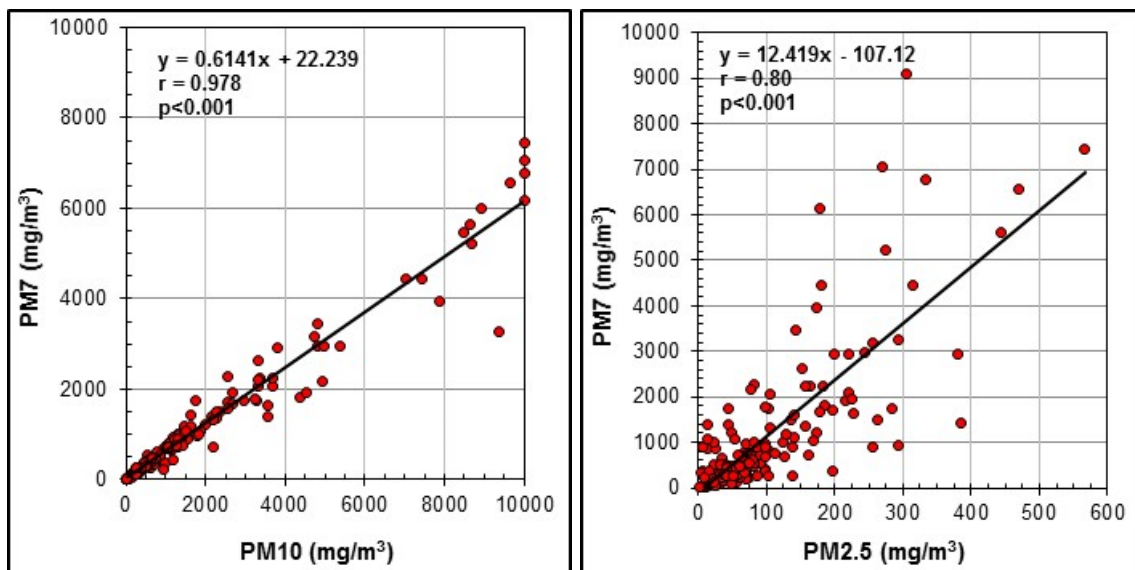
وكانت العلاقة بين PM_{10} و PM_7 اقوى من سابقتها من خلال

تركيز PM_7 بمقدار 0.6141 ميكروغرام/ m^3 مع كل 1 ميكروغرام/ m^3 زيادة في PM_{10} (3). كما سجلت علاقة ارتباط معنوية قوية بين تركيز الدفائق العالقة الكلية و PM_{10} في معمل سمنت بادوش الجديد وبمعامل ارتباط 0.98 ، اذ تزداد تركيز الدفائق العالقة PM_{10} بمقدار 0.7681 مع كل 1 ميكروغرام/ m^3 زيادة في تركيز الدفائق العالقة الكلية (4).

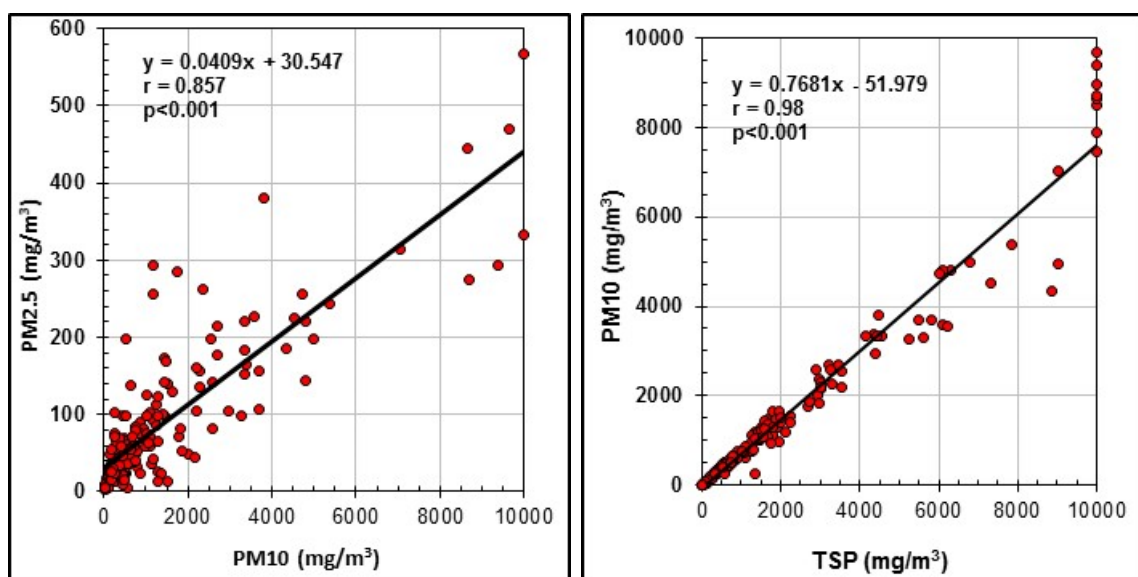


الشكل (1) العلاقة بين تركيز الجسيمات العالقة PM_1 و $PM_{2.5}$ في المعمل.

ويبين الشكل (5) علاقة ارتباط معنوية طردية بين PM_{10} و $PM_{2.5}$ وبين PM_7 ، بحيث ترداد تراكيز الدفلق العلاقة $4 \text{ ميكروغرام}/\text{م}^3$ عند ازيداد $100 \text{ ميكروغرام}/\text{م}^3$. وهذه العلاقة مقاربة للعلاقة الطردية الموجبة التي وجدتها (Wenchang, 2013) في دراسته للتلوث الغباري في مدينة شنجهاي الصينية.



الشكل (2) العلاقة بين تراكيز الجسيمات العالقة (3) العلاقة بين تراكيز الجسيمات العالقة (4) العلاقة بين تراكيز الجسيمات العالقة PM10 و PM7 في معمل السمنت PM2.5 في معمل السمنت



الشكل (4) العلاقة بين تراكيز الجسيمات العالقة (5) العلاقة بين تراكيز الجسيمات العالقة الكلية و PM10 في معمل السمنت PM2.5 في معمل السمنت

تأثير الغبار الساقط على التربة

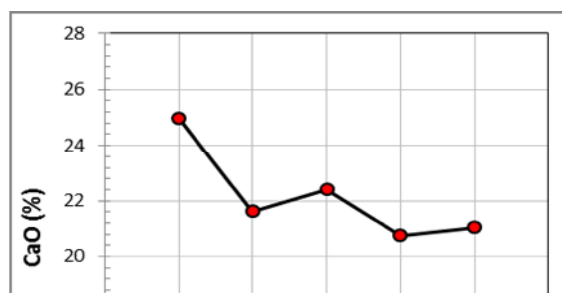
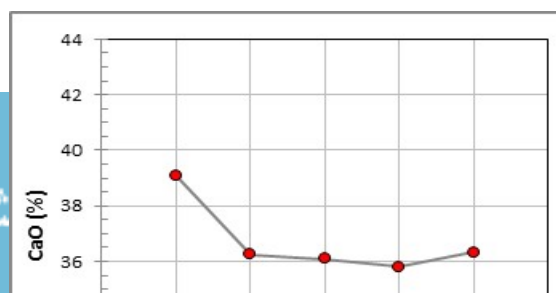
يبين الجدول (6) معدلات نتائج فحوصات التربة المأخوذة على مسافات كل واحد كيلومتر عن معمل سمنت بادوش الجديد ولحد 5 كيلومتر وللاتجاهات الاربعة الشمال والجنوب والشرق والغرب. وكما يُـ فروقات معنوية في نسب اوكاسيد المعادن المقاسة بين الاتجاهات الاربعة وبمعنى (p<0.001) لجميع الاوكاسيد ماعدا اوكسيد المغنيسيوم فكان الاختلاف عند مستوى معنوية (p<0.05).

و عند المقارنة بين معدل النسب المئوية لكل اوكسيد باستخدام اختبار (Tukey) نلاحظ زيادة نسبة الاوكاسيد باتجاهي الجنوب والشرق وبفرق معنوي عن الشمال والغرب والذي يمكن ان يعزى الى اتجاه الرياح السائدة في المنطقة القادمة من الشمال الغربي. فقد كانت نسبة السليكا والالومينا في التربة شرقي المعامل هي الاعلى وبلغت %40.94 لومينا. في حين كان اعلى معدل لبقية الاوكاسيد في التربة باتجاه جنوبى المعامل وبلغ %4.61 لأوكسيد الحديد %36.81 لأوكسيد الكالسيوم و%4.49 لأوكسيد المغنيسيوم و%0.76 لأوكسيد الكبريت وهذا يتطابق مع ما (الشهواني 2005) اذ لاحظ تأثر المنطقة الجنوبيه الشرقيه لمعمل سنحار بالساقط الغباري للمعمل وقام نماذجه منها في دراسته لتأثير .

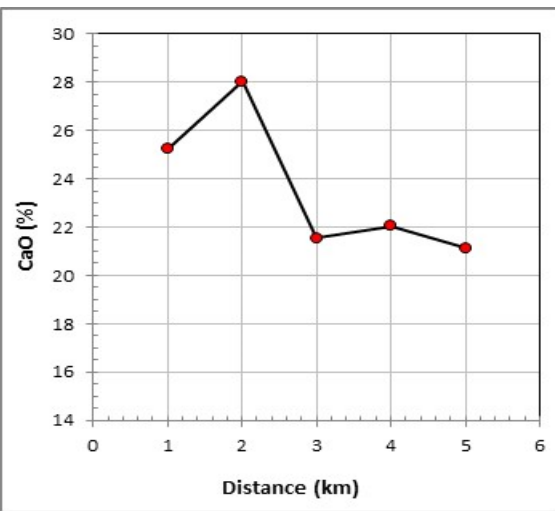
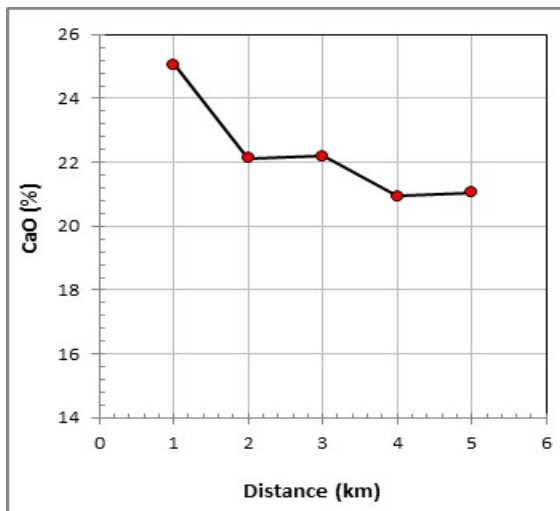
(6) معدلات نسب الاوكاسيد في التربة حسب الاتجاه وتاثير الساقط الغباري في منطقة الدراسة.

Oxides	Direction	Mean (%)	SD	Min.	Max.	p-value
SiO_2	N	21.12 ^c	4.82	15.56	28.96	<0.001
	S	35.33 ^b	1.85	31.96	37.77	
	E	40.94 ^a	7.03	33.46	52.76	
	W	34.13 ^b	3.77	24.88	37.41	
Al_2O_3	N	5.91 ^c	1.42	3.60	8.86	<0.001
	S	10.17 ^a	0.70	8.73	11.13	
	E	10.53 ^a	1.11	8.24	11.97	
	W	8.57 ^b	1.28	6.50	10.60	
Fe_2O_3	N	2.37 ^c	0.58	1.56	3.52	<0.001
	S	4.86 ^a	0.49	3.41	5.36	
	E	4.71 ^a	0.49	3.28	5.12	
	W	3.96 ^b	0.78	2.72	5.47	
CaO	N	22.16 ^b	1.91	19.49	26.04	<0.001
	S	36.81 ^a	3.49	30.31	42.05	
	E	23.59 ^b	3.37	19.07	29.49	
	W	22.15 ^b	2.11	18.41	27.44	
MgO	N	3.58 ^b	0.77	2.37	5.49	<0.05
	S	4.49 ^a	0.85	2.46	5.90	
	E	3.87 ^{ab}	0.89	2.59	5.41	
	W	4.29 ^{ab}	0.67	2.46	5.01	
SO_3	N	0.19 ^b	0.21	0.01	0.65	<0.001
	S	0.76 ^a	0.48	0.17	1.78	
	E	0.49 ^{ab}	0.40	0.04	1.64	
	W	0.21 ^b	0.20	0.05	0.90	

الحرروف المختلفة تعني وجود فرق معنوي عند مستوى معنوية 0.05 < p لكل اوكسيد حسب اختبار Tukey .



الشكل (6) تغير نسبة اوكسيد الكالسيوم في التربه
الشكل (7) تغير نسبة اوكسيد الكالسيوم في التربه
مع الابتعاد عن المعمل باتجاه الجنوب



الشكل (8) تغير نسبة اوكسيد الكالسيوم في التربه
مع الابتعاد عن المعمل باتجاه الشرق
الشكل (9) تغير نسبة اوكسيد الكالسيوم في التربه
مع الابتعاد عن المعمل باتجاه الغرب

6 - (9) تغير نسبة اوكسيد الكالسيوم في التربة مع ازيد المسافة عن معامل سمنت بادوش للاتجاهات الاربعة الشمال والجنوب والشرق والغرب على التوالي. ويوضح من هذه الاشكال انخفاض النسبة المئوية لـ CaO في التربة مع ازيد المسافة عن المعمل فوق 1 كم في الاتجاهات الشمال والجنوب والغرب وفوق 2 وهذا يمكن ان يعزى الى اختلاف احجام دفانق الغبار المنبعثة من المعمل، اذ تسقط الكبيرة الحجم منها والاكثر تأثيرا على التربة بعد انخفاض درجة حرارتها ضمن هذه المسافات وان هذا الاختلاف يبرر انتشار الغبار على مسافات مختلفة عن المعمل ولأن التناسب عكسي بين حجم الدفانق وفتره بقائها في الهواء فان حجم الدفانق الساقطة على التربة ينخفض مع الابتعاد عن المعمل والتي تكون اقل كمية وتتأثرا على التربة. وهذا يقارب ما وجده (Al-Omran, 2011) في دراستهم للتلوث التربة الناجمة عن معامل الاسمنت في منطقة الاحساء شرق المملكة العربية السعودية، اذ كانت اعلى نسبة لأوكسيد الكالسيوم ضمن 2 كم حول المعمل. ان زيادة نسبة اوكسيد الكالسيوم حول المعمل دليل على تلوث التربة الناجم عن غبار (Zerrouqi, 2008).

الاستنتاجات

1. تجاوز المعدل اليومي لتراتيز الدقائق العالقة الناعمة جدا PM2.5 الحدود المسموح بها في وحدات طحن المواد الأولية والاسمنت وتبنته فضلاً عن مختبر الفحوصات الكيميائية والكسارة وغرف العاملين في الكسارة والافران وطواحين الاسمنت في معمل سمنت بادوش الجديد.
2. تجاوز المعدل اليومي لتراتيز الدقائق العالقة القابلة للاستنشاق PM10 حداث المسموحة في جميع مواقع القياس وسجلت وحدات طواحين المواد الأولية والاسمنت وتبنة الاسمنت أعلى التراكيز.
3. وجود علاقات ارتباط معنوية بين الدقائق العالقة المقاسة حسب الحجم .
4. ظهر تأثير معمل سمنت بادوش على التربة بازدياد النسب المئوية للأكاسيد في اتجاهي الجنوب والشرق بتأثير الرياح .

المصادر

1. الشهوانى ، طلال علي جردو خلف (2005) "تأثير غبار مصنع سمنت سنجار على صفات الترب الزراعية وتكوين الطبقة الصلبة" ، رسالة ماجستير مقدمة الى كلية الزراعة والغابات، جامعة الموصل .
2. Abu Allaban, Mahmoud and Abu Qudais, Hani, (2011), "Impact Assessment of Ambient Air Quality by Cement Industry: A Case Study in Jordan", Aerosol and Air Quality Research, Vol. 11, pp. 802-810.
3. Ade-Ademilua, O.E., and Obalola, D.A., (2008), "The Effect of Cement Dust Pollution on Celosia Argentea (Lagos Spinach) Plant", Journal of Environmental Science and Technology, Vol. 1, pp. 47-55.
4. Al Smadi, Bashar M., Al-Zboon, Kamel K., and Shatnawi, Khaldoun M., (2009), "Assessment of Air Pollutants Emissions from a Cement Plant: A Case Study in Jordan", Jordan Journal of Civil Engineering, Volume 3, No. 3, pp. 265-282
5. Al-Omran, A.M., El-Maghriby S.E., Nadeem, M.E.A., El-Eter, A.M., Al-Qahtani, S.M.I. (2011), "Impact of Cement Dust on Some Soil Properties Around the Cement Factory of Al-Hasa Oasis, Saudi Arabia", Am. Eurasian J. Agric. & Environ. Sci., Vol. 11, pp. 840-846.
6. Branquinho C, Gaio-Oliveira G, Augusto S, Pinho P, Máguas C, and Correia O., (2008), "Biomonitoring spatial and temporal impact of atmospheric dust from a cement industry", Environmental Pollution, Vol. 15, No.2, pp. 292-299.
7. Burcu Onat, Ulku Alver Sahin, Tanil Akyuz (2013), "Elemental characterization of PM2.5 and PM1 in dense traffic area in Istanbul, Turkey", Atmospheric Pollution Research, Vol. 4, pp. 101-105.
8. Furuta, N., Lijima, A., Kambe, A., Sakai, K., Sato, K., (2005), "Concentrations, enrichment and predominant sources of Sb and other trace elements in size classified airborne particulate matter collected in Tokyo from 1995 to 2004", Journal of Environmental Monitoring 7, 1155-1161.
9. Hindy, K. T., Abdel Shafy, H. T. and Farag, S. A., (1990), "The role of the cement industry in the contamination of air, water, soil and plant with vanadium in Cairo", Environmental Pollution, Vol. 66, pp. 195-205.
10. Jeff, G. and Hans, P., (2004), "Assessment of Environmental Impact of the Holcim Cement—Dundee Plant", Ecology, Centre, Retrieved October 13, 2007.

11. Kabir, G. and Madugu, A. I., (2010), "Assessment of environmental impact on air quality by cement industry and mitigating measures: a case study", Environmental Monitoring Assess, Vol. 160, pp. 91-99.
12. Knox, G. (2008), "Atmospheric Pollutants and Mortalities in English Local Authority Areas", J. Epidemiol. Community Health, Vol. 62, No. 5, pp.442–447.
13. Makkonen, U., Hellén, H., Anttila, P., Ferm, M., (2010), "Size distribution and chemical composition of airborne particles in south-eastern Finland during different seasons and wildfire episodes in 2006", Science of the Total Environment, 408, 644-651.
14. National Ambient Air Quality Standards for Particle Pollution (NAAQS), Environmental Protection Agency EPA, Final rule, January 15, 2013
15. Olaleye,V.F.; Oluyemi,E.A., (2010), "Effects of cement flue dusts from a Nigerian cement plant on air, water and planktonic quality", Environmental Monitoring and Assessment, Vol. 14, pp. 153-162.
16. Panedy, P. R., and Banskota, N., (2008), "Negative Impact of Industrialization along Lumbini Road, Nepal", Bulletin of the Department of Geology, Vol. 11, pp. 71-78.
17. Singh, A.K., Gupta, H.K., Gupta, K. Singh, P. Gupta, V.P. Sharma, R.C. (2007), "A Comparative Study of Air Pollution in Indian Cities", Bull Environ Contam Toxicol, Vol. 78, pp. 411–416.
18. Wenchang Zhao, Jinping Cheng, Dinglong Li, Yusen Duan, Haiping Wei, Ruoxu Ji, Wenhua Wang (2013), "Urban ambient air quality investigation and health risk assessment during haze and non-haze periods in Shanghai, China", Atmospheric Pollution Research, Vol. 4, pp. 275-281.
19. Zerrouqi; Z.; Sbaa M.; Oujidi, M.; Elkharmouz, M.; Bengamra S.; and Zerrouqi A., "Assessment of cement's dust impact on the soil using principal component analysis and GIS", International Journal of Environment Science and Technology, Vol. 5, No. 1, Winter 2008, pp.125-134.

تم اجراء البحث في كلية الهندسة = جامعة الموصل